

多媒体技术基础及应用 图像视频实验一 实验报告

2013011427 刘智峰 计 31

【Exp1】

一、实验环境

编程语言：MATLAB

实验平台：MATLAB R2014a on windows 7

二、实验任务

- 1、给出 lena 图片的灰度图
- 2、对全图使用先行后列的一维 DCT 变换
- 3、对全图使用 2 维 DCT 变换
- 4、将图片分为 8×8 的模块，进行 2 维 DCT 变换
- 5、分析上述任务程序所用的时间，以及 IDCT 重构得到的图片和原图的 PSNR。
- 6、以 1、1/4、1/16、1/64 的比例调整 DCT 系数，重复上述任务，观察并分析实验结果。

三、实现说明

一维、二维的 DCT 变换直接使用了 MATLAB 自带的 `dct()`、`dct2()` 函数；对于将图片进行 8×8 分块并进行对应的 DFT、IDFT 变换，刚开始自己实现了一个 for 循环来分割 512×512 的图片，较为繁琐，代码很冗余。后来在网上找到了按 8×8 大小分块，并进行 DCT 系数压缩的相关资料，并进行了学习，使用 MATLAB 自带的 `blkproc` 函数，配合适用于小矩阵的 DCT 变换函数 `dctmtx(8)`，大大简化了代码量。

Blkproc 函数的用法为 $I = \text{blkproc}(A, [\text{size1}, \text{size2}], \text{fun}, \text{arg1}, \text{arg2} \dots)$ 。其中 A 是待分块矩阵, size 为分块的规模, fun 为自己实现的函数, $\text{arg1}, \text{arg2} \dots$ 为 fun 的参数。在指定了 size 后, 此函数会自动将原来的 A 矩阵按 $[\text{size1}, \text{size2}]$ 规模进行划分, 然后对每个分出来的子矩阵, 将其传入 fun 函数, 执行相应的功能。最后, 会将所有子矩阵执行 fun 函数后得到的结果矩阵拼到一起, 存入 I 中。本次实验中, 我用到 $I2 = \text{blkproc}(A, [8 \ 8], 'P1 * x * P2', T, T')$, 其中 $T = \text{dctmtx}(8)$ 。这样就相当于将 A 矩阵中的每一个不重复的 8×8 矩阵进行一个 2 维 DCT 变换, 然后将结果拼到 $I2$ 中, 这样就实现了对整个矩阵分块进行二维 DCT 变换。再将 T 和 T' 置换位置, 实现一个逆变换, 即可得到重构的图片。

在进行 DCT 系数压缩时, 通过观察可以看出, 无论是 1 维 DCT 变换还是 2 维 DCT 变换, DCT 矩阵的非零值主要位于左上角, 右下角几乎都是 0。所以, 可以按压缩系数保留左上角的数据, 把其余的数据清 0, 达到压缩的目的。举个例子, 如果要进行 1/4 的系数压缩, 那就把 DFT 矩阵的左上角 1/4 的部分, 即 $[1, 256] \times [1, 256]$ 的范围留下, 其余的部分都清 0, 这样就实现了只保留 1/4 的内容, 即实现了我设想的 1/4 压缩。对于 1/16、1/64 的压缩系数类似。而对于 8×8 分块的矩阵, 我直接使用了 MATLAB 自带的 blkproc 函数进行压缩。

上述 8×8 分块 DCT、压缩的内容, 主要参考了:

<http://www.doc88.com/p-2129986101481.html>

四、实验结果

1、lena 图片的灰度图: (左边为原图, 右边为灰度图)

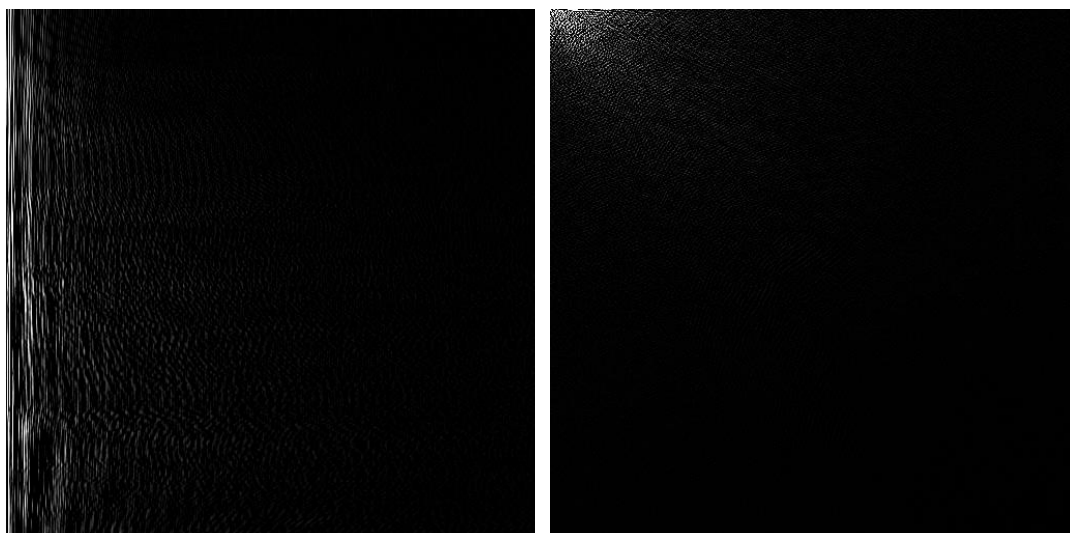


2、对全图使用先行后列的一维 DCT 变换

如下，左边为原灰度图，右边为一维 DCT 变换，再进行逆变换后的重构图



可见两幅图几乎没有什么区别。下面附上先行后列 DCT 变换后的结果图：

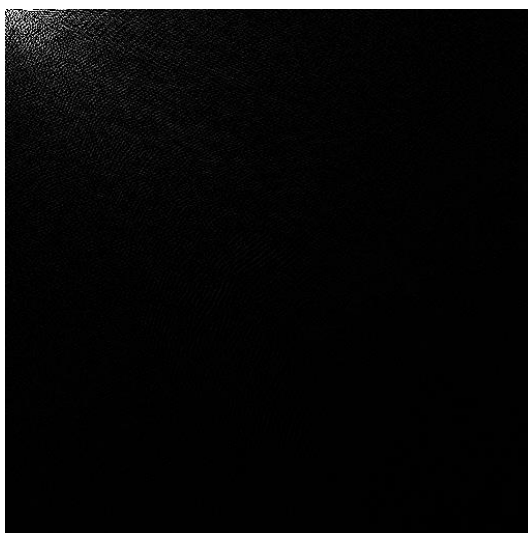


3、对全图使用 2 维 DCT 变换

如下，左边为原灰度图，右边为二维 DCT 变换，再进行逆变换后的重构图



可见两幅图几乎没有什么区别。2 维 DCT 变换后的结果如下：



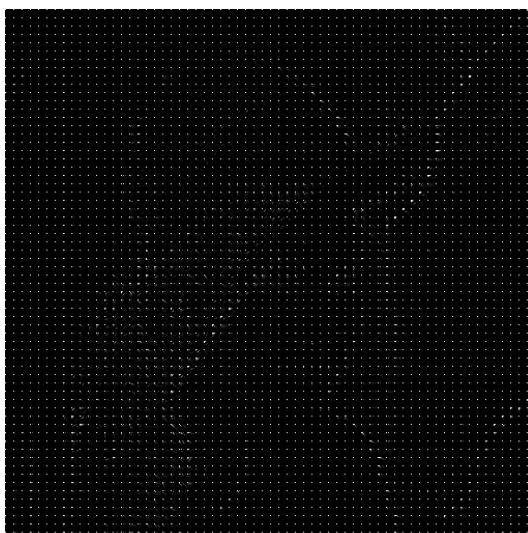
4、将图片分为 8×8 的模块，进行 2 维 DCT 变换

如下，左边为原灰度图，右边为二维 DCT 变换，再进行逆变换后的重构图



可见两幅图还是几乎没有什么区别。 8×8 分块 2 维 DCT 变换后的结果如下，

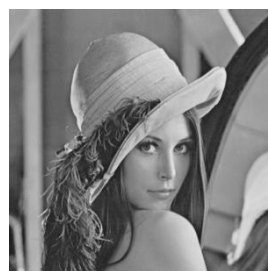
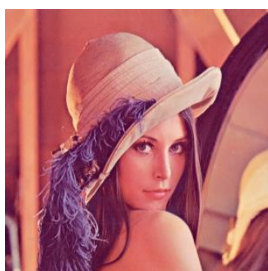
可以看出，DCT 变换后得到的矩阵描绘出了 lena 的轮廓。



5、不同压缩系数对 DCT 结果的影响

如下系列图。第一张为原图，第二张为灰度图。

第二行为 1 维 DCT，第三行为 2 维 DCT，第四行为 2 维 8*8 分块 DCT；从左到右，分别是使用 1、1/4、1/16、1/64 的 DCT 系数变换后，进行逆变换得到的结果。如果将 1、1/4、1/16、1/64 称为 DCT 的压缩系数，可见从左到右，图片越来越模糊，说明压缩系数越小，图片还原得越差。同时，按列来看，缩小后图片看上去差别不是很大。但是从原图进行观察，可以很清楚地看出，当压缩系数为 1 时，3 中方法的图片与原图都差不多，肉眼难以辨别。当压缩系数减小时，可以看出 1 维 DCT 和 2 维 DCT 的重构结果没有什么区别，而 2 维 8*8 分块 DCT 的结果更加模糊，这也和同一系数下，2 维 8*8 分块 DCT 的 PSNR 值最小相符合。





放大后的 8×8 分块 $1/64$ 压缩 DCT 结果和 2 维 $1/64$ 压缩 DCT 对比如下：



可见， $1/64$ 压缩 2 维 DCT 变换，再经过逆变换后结果更加模糊(左图)。

6、上述任务的运行时间、对应的 IDFT 重构图片与原始灰度图片的 PSNR 分析

统计结果如下，具体数据可查看 结果统计.xlsx

PSNR 结果：

算法 压缩系数	行列 1D-DCT	直接 2D-DCT	分块 2D-DCT
1	333.8549	333.8115	320.3367
1/4	57.2727	57.2727	55.922
1/16	50.9603	50.9603	49.2543
1/64	46.9023	46.9023	44.7098

已知 PSNR 值与 MSE 成反比，PSNR 越大，MSE 值越小，两张图片差别越小，越接近。从结果可以看出，没有进行压缩的情况下，3 中算法的 PSNR 值都很大，且都很接近，说明没有进行压缩的情况下，三种算法都能够通过 IDCT 重构，很好地还原出原始图片。而加上压缩系数后，PSNR 值就变小了，而且呈现压缩系数越小，PSNR 值越小的趋势，这与压缩系数越小，图片越模糊的实验结果相吻合。同时，可以看出 1 维 DCT 和 2 维 DCT 的效果差不多，而 2 维分块 DCT 的 PSNR 会略大一些，效果会稍微差一点。

运行时间结果：

首先来分析一下算法的复杂度。

对于 1 维 DCT 变换，公式为：

$$F(u) = \sqrt{\frac{2}{N}} C(u) \sum_{x=0}^{N-1} f(x) \cos \left[\frac{\pi(2x+1)u}{2N} \right]$$

$$f(x) = \sqrt{\frac{2}{N}} \sum_{u=0}^{N-1} C(u) F(u) \cos \left[\frac{\pi(2x+1)u}{2N} \right]$$

可见，每个值 u 做 DCT 的复杂度为 $O(N)$ ，一行的复杂度为 $O(N^2)$ 。无论是行还是列，1D-DCT 的复杂度都是 $O(N^3)$ 。

对于 2 维 DCT 变换，公式为：

$$\text{FDCT: } S_{uv} = \frac{1}{4} C_u C_v \sum_{i=0}^7 \sum_{j=0}^7 s_{ij} \cos \frac{(2i+1)u\pi}{16} \cos \frac{(2j+1)v\pi}{16}$$

$$\text{IDCT: } s_{ij} = \frac{1}{4} \sum_{u=0}^7 \sum_{v=0}^7 C_u C_v S_{uv} \cos \frac{(2i+1)u\pi}{16} \cos \frac{(2j+1)v\pi}{16}$$

$$C_u C_v = \begin{cases} \frac{1}{\sqrt{2}} & \text{for } u, v = 0 \\ 1 & \text{otherwise} \end{cases}$$

可见，计算 u 、 v 点的复杂度都是 $O(N^2)$ ，所以总体复杂度为 $O(N^4)$ 。

对于 8×8 分块 2 维 DCT 变换，每小块的复杂度为 $O(8 \times 8)$ ，即 $O(1)$ 。所以总体复杂度为 $O(N^2)$ 。

实际运行时间结果如下：

算法 压缩系数	行列 1D-DCT	直接 2D-DCT	分块 2D-DCT
1	0.353189	0.06261	2.346848
1/4	0.345049	0.09783	4.203706
1/16	0.347657	0.0997	3.848901
1/64	0.400276	0.10576	3.849279

好像和理论的复杂度分析结果不符。按照理论分析的结果，应该是分块 2D < 行列 1D < 直接 2D。我认为，可能的原因有：

(1)、MATLAB 中的 `dct`、`dct2` 函数可能并没有严格按照公式来实现，而是使用了类似于快速傅里叶变换等的优化算法，导致实际复杂度与按照 1D-dct、2D-dct 公式分析的复杂度不同。

(2)、由于本次整个图片的规模也不过是 512×512 ，数量级不大，可能常数对时间的影响太大(因为如果数量组足够大的话，常数是不影响复杂度的)。如果图片的规模更大一些，运行时间可能会更符合时间复杂度的规模。

五、实验总结

通过对实验结果的分析，可以看出，使用 1D-DCT 或 2D-DCT 的方式进行图像压缩，可以有效地保存图片中的整体信息，丢失的只会是一些细节方面，所以逆变换重构后得到的图片和原图没有明显的差别；当对 DCT 的系数进行压缩时，图片质量会产生明显的下降；对大图片进行分块后 DCT 压缩，复杂度是最小的，可能需要的时间也是最少的，但是逆变换重构后的图片效果可能会打折扣，不如对没有分块的原图直接进行 DCT 变换的效果好。

六、实验数据

(1)、源代码：

my_psnr.m：按照公式计算两个矩阵的 PSNR 值

coefficients.m：按照传入的参数，对 DCT 系数进行压缩

DCT.m：主程序，通过调用 psnr 和 coefficients 函数，实现上述任务。

代码中都附有详细的注释。

(2)、PSNR、运行时间统计：

见 “结果统计.xlsx”。

(3)、PSNR、运行时间统计：

原图：“lena.bmp”

灰度图：“gray-lena.bmp”

一维 DCT，行变换后结果：“D1_row.bmp”

一维 DCT，先行后列变换后结果：“D1_column.bmp”

二维 DCT 变换结果：“D2_dct.bmp”

二维分块 DCT 变换结果：“D2_with_block_dct.bmp”

一维, 压缩系数为 1、1/4、1/16、1/64 的 DCT 变换的逆变换结果位于 “一维 DCT 图片结果” 文件夹内, 命名为:

“D1_m_idct.bmp” 其中 m 为小数表示的压缩系数 (压缩系数为 1 时为 空)

二维, 压缩系数为 1、1/4、1/16、1/64 的 DCT 变换的逆变换结果位于 “二维 DCT 图片结果” 文件夹内, 命名为:

“D2_m_idct.bmp”, 其中 m 为小数表示的压缩系数 (压缩系数为 1 时为 空)

二维 8*8 分块压缩系数为 1、1/4、1/16、1/64 的 DCT 变换的逆变换结果位于 “二维_8_8_DCT 图片结果” 文件夹内, 命名为:

“D2_with_block_m_idct.bmp”, 其中 m 为小数表示的压缩系数 (压缩系数为 1 时为 空)

【Exp2】

一、实验环境

编程语言: MATLAB

实验平台: MATLAB R2014a on windows 7

二、实验任务

- 1、将图片进行 8*8 分块, 并使用二维 DCT 进行变换。
- 2、使用量化矩阵 Q 对二维 DCT 的结果进行量化。
- 3、对量化结果使用二维 IDCT 变换, 并计算重构图片的 PSNR。
- 4、对所有的分块, 计算平均 PSNR。
- 5、使用一个参数 a ($0.1 < a < 2$) 乘上量化矩阵 Q, 并重复上述过程。
- 6、画出 PSNR-a 曲线图, 并解释实验结果。

- 7、自己尝试设计一个量化矩阵，并说明影响量化矩阵设计的因素。
- 8、自己选择图片，使用 Cannon 和 Nikon 两种量化矩阵，比较结果与 PSNR。

三、实现说明

本次任务主要要做的还是对矩阵进行分块量化计算 PSNR。计算 PSNR 的函数直接使用了实验一实现的函数。

进行矩阵量化时，量化相关的公式和原理参考了：

<http://bbs.csdn.net/topics/310026388>

查看这里的资料后得知，矩阵量化的主要公式是：

$$F^Q(u, v) = \text{IntegerRound} \left[\frac{F(u, v)}{Q(u, v)} \right]$$

其中，F 为经过 DCT 变换后的矩阵，Q 为量化矩阵，IntegerRound 是一个取整函数。关于取整，可以直接用 MATLAB 自带的 round 函数。而对于矩阵出发，可以通过./Q 实现。但是在量化后进行 2D-IDCT 时，我发现如果没有经过一个逆量化，即没有经过一个.*Q 的过程，最后重构得的结果很黑，几乎不能看出 lena 的轮廓，且得到的 PSNR 很小，于是我加上了逆量化的过程。

在对矩阵进行分块计算时，刚开始我还是用的 blkproc 矩阵，即自己实现一个对 8*8 矩阵进行 2D-DCT、量化、逆量化、2D-IDCT、计算 PSNR 的函数。但是最后的出来的结果老是不对，重构的图片老是白白的一片。将最后拼接出来的 IDCT 结果输出，发现几乎所有值都超过 50。刚开始我怀疑，是不是这里不能用 blkproc 函数，或者是不是我的用法出错了。所以我又实现了一种使用 mat2cell 进行 8*8 分块的方法，同样对每个子矩阵进行 2D-DCT、量化、逆量化、2D-IDCT，然后计算 PSNR，但是最终重构结果还是白的，还是不对。通过

观察，我发现这两种实现方法算出来的平均 PSNR 值是相同的，说明这两种方法应该都是可以的。调了好久，最后对得到的结果加上了一个 `mat2gray`，对矩阵进行一个归一化，结果就正常了。

进行作图时，只需要对每一个系数取值，计算出这种情况下量化的 PSNR 平均值，然后存到数组中，最后用 `plot` 绘图即可。

自己选择图片时，我选择了之前信号处理课程上老师给过的三张灰度图片，具体图片见实验结果。

四、实验结果

1、对图片进行 8×8 分块，使用量化矩阵 Q 计算每个小块的 PSNR 值，并计算 PSNR 平均值。

每个子块的 PSNR 值记录在“Q_1_data.txt”中。PSNR 平均值为 29.3266。

重构图片结果如下，左边为原图，右边为逆变换重构的图。



2、使用参数 a 进行放缩量化矩阵，并计算平均 PSNR 值，绘制 PSNR- a 曲线，分析实验结果。

本次实验，我总共取了 20 个值， $a=0.1, 0.2 \dots 2$ ，对每种 a 都进行了 PSNR 平均值的计算，并绘制了 PSNR- a 的曲线图。不同 a 的取值下，3 种量化矩阵的

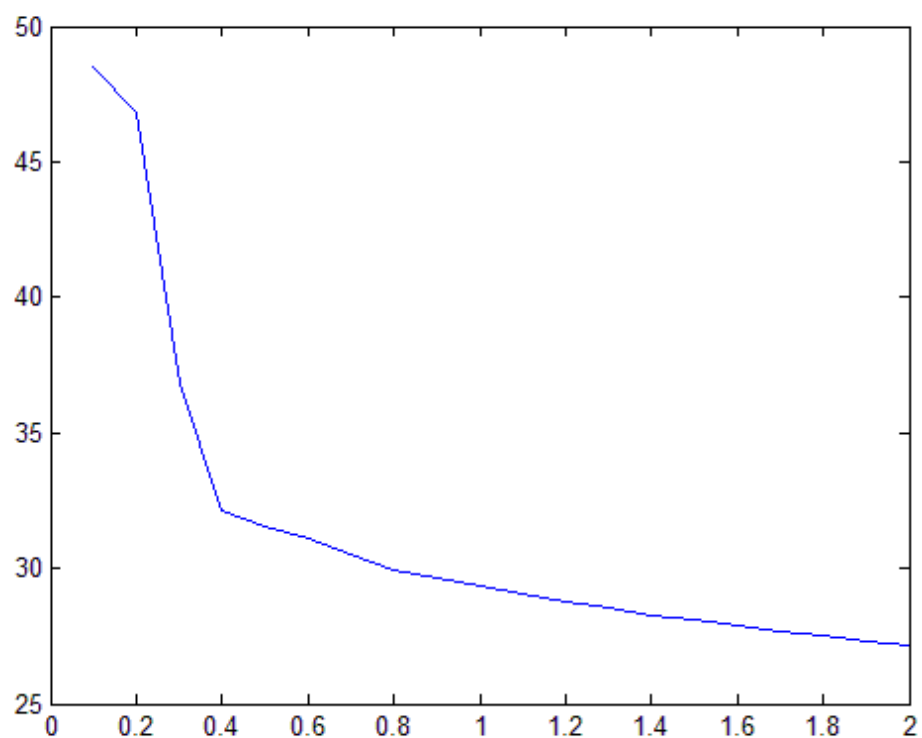
平均 PSNR 结果截图如下。具体数据见 “数据统计.xlsx”。

Name(策略名_a值)	average_PSNR	average_20
Q_0.1	48.5262	31.32504
Q_0.2	46.7865	
Q_0.3	36.8118	
Q_0.4	32.1483	
Q_0.5	31.5342	
Q_0.6	31.0865	
Q_0.7	30.5029	
Q_0.8	29.9591	
Q_0.9	29.6249	
Q_1	29.3266	
Q_1.1	29.03	
Q_1.2	28.7515	
Q_1.3	28.5121	
Q_1.4	28.2853	
Q_1.5	28.0856	
Q_1.6	27.8857	
Q_1.7	27.6761	
Q_1.8	27.4939	
Q_1.9	27.3271	
Q_2	27.1465	
Cannon_0.1	52.4955	44.511035
Cannon_0.2	50.7522	
Cannon_0.3	49.2474	
Cannon_0.4	47.7973	
Cannon_0.5	47.4716	
Cannon_0.6	46.1882	
Cannon_0.7	47.058	
Cannon_0.8	44.8385	
Cannon_0.9	42.7397	
Cannon_1	42.6051	
Cannon_1.1	43.191	
Cannon_1.2	44.0302	
Cannon_1.3	44.8984	
Cannon_1.4	44.8769	
Cannon_1.5	43.9524	
Cannon_1.6	42.2751	
Cannon_1.7	40.7072	
Cannon_1.8	39.3782	
Cannon_1.9	38.3147	
Cannon_2	37.4031	

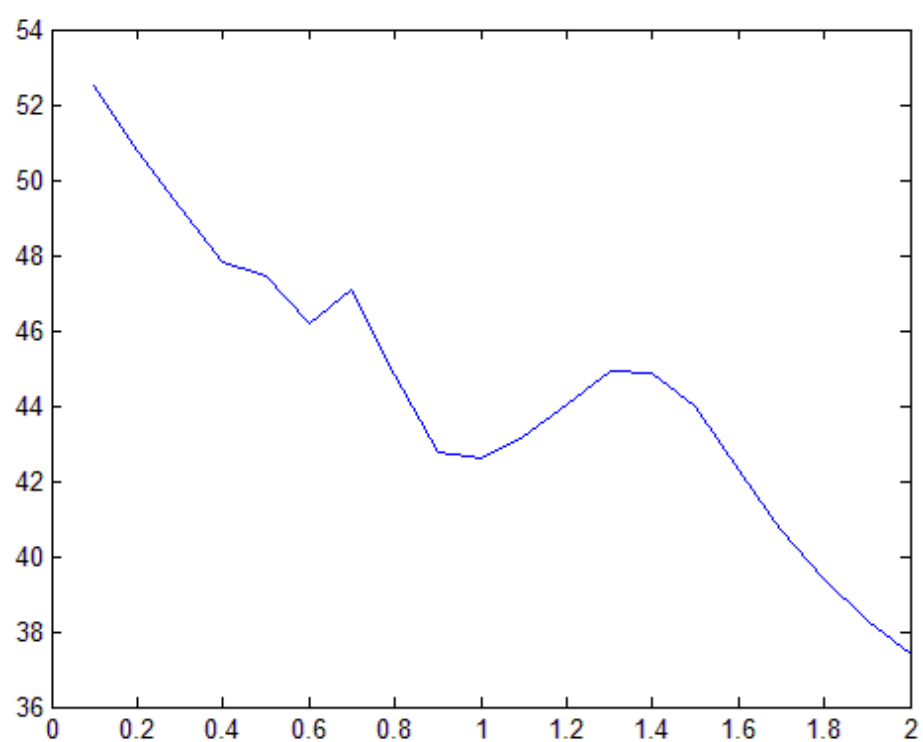
Nikon_0.1	53.3269	45.9245
Nikon_0.2	51.0912	
Nikon_0.3	49.8555	
Nikon_0.4	49.443	
Nikon_0.5	47.9426	
Nikon_0.6	47.4471	
Nikon_0.7	45.9139	
Nikon_0.8	47.7517	
Nikon_0.9	46.1249	
Nikon_1	43.6468	
Nikon_1.1	42.0538	
Nikon_1.2	42.1273	
Nikon_1.3	42.949	
Nikon_1.4	44.0441	
Nikon_1.5	45.3813	
Nikon_1.6	45.9926	
Nikon_1.7	45.4137	
Nikon_1.8	43.9794	
Nikon_1.9	42.6132	
Nikon_2	41.4017	

PSNR 随 α 的变化图如下：

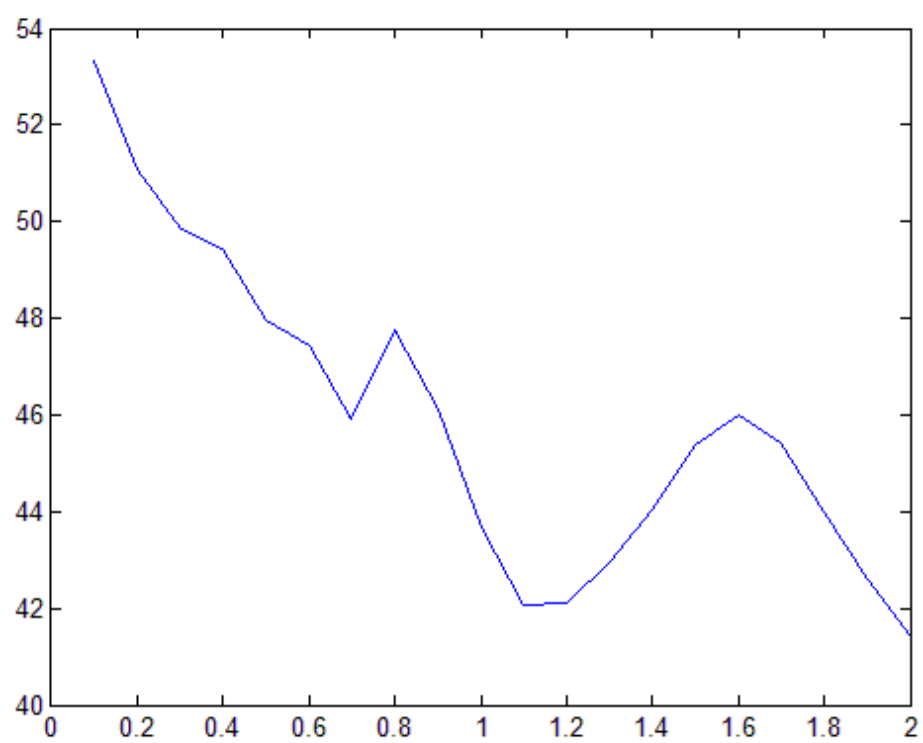
(1) 量化矩阵为 Q 时：



(2) 量化矩阵为 Cannon 时：



(3) 量化矩阵为 Nikon 时：



从 3 张 PSNR-a 的趋势图可以看出 ,无论量化矩阵是 Q 还是 Cannon ,或者是 Nikon ,随着 a 的增大 , PSNR 值都呈减小的趋势。这是由于随着 a 的增大 , $a \cdot Q$ 中的元素不断增大 ,导致 $\text{round}(\text{dct2}(A)/Q) \cdot Q$ 的值也不断增大 ,经过逆变换并归一化后 ,矩阵的值越接近于 0 ,丢失的信息越多 ,导致图片模糊度增大 , PSNR 值减小。

但同时也可以看出 ,只有量化矩阵为 Q 时的 PSNR-a 曲线是单调的 ,对于 Cannon 或者 Nikon , PSNR 总体上呈减小的趋势 ,但是在减小过程中还是有一系列的凸值。这可能是受真正处理的图片本身的特性影响。

从三种量化矩阵的曲线图和 PSNR 均值可以看出 ,相同系数 a 下 Nikon 和 Cannon 的 PSNR 值会比 Q 的 PSNR 值来的大 ,20 种 a 的取值下 PSNR 的均值也比 Q 的值来的大 ,说明 Nikon 和 Cannon 量化矩阵的效果比 Q 来的好。而 Nikon 和 Cannon 相比均值差不多 ,会大一点 ,效果可能也会好一点。

20 种 a 的值的条件下 ,三种量化矩阵量化后重构得到的图片 ,附于“ Q 图片结果”、“cannon 图片结果”、“Nikon 图片结果”三个文件夹中。这里贴出原图、 $a=0.1$ 、1、2 时的结果。

(1) 量化矩阵为 Q 时 ,从左到右、从上到下依次为 :原图、 $a=0.1$ 、1、2 时的结果



(2) 量化矩阵为 Cannon 时 ,从左到右、从上到下依次为 :原图、 $a=0.1$ 、1、2 时的结果





(3) 量化矩阵为 Nikon 时，从左到右、从上到下依次为：原图、 $a=0.1$ 、1、2 时的结果



可见，随着 a 的增大，图片越来越模糊，这和随着 a 增大，PSNR 值不断减

小的结果相符合。

3、说出一些影响量化矩阵设计的因素，并尝试自己给出一个量化矩阵。

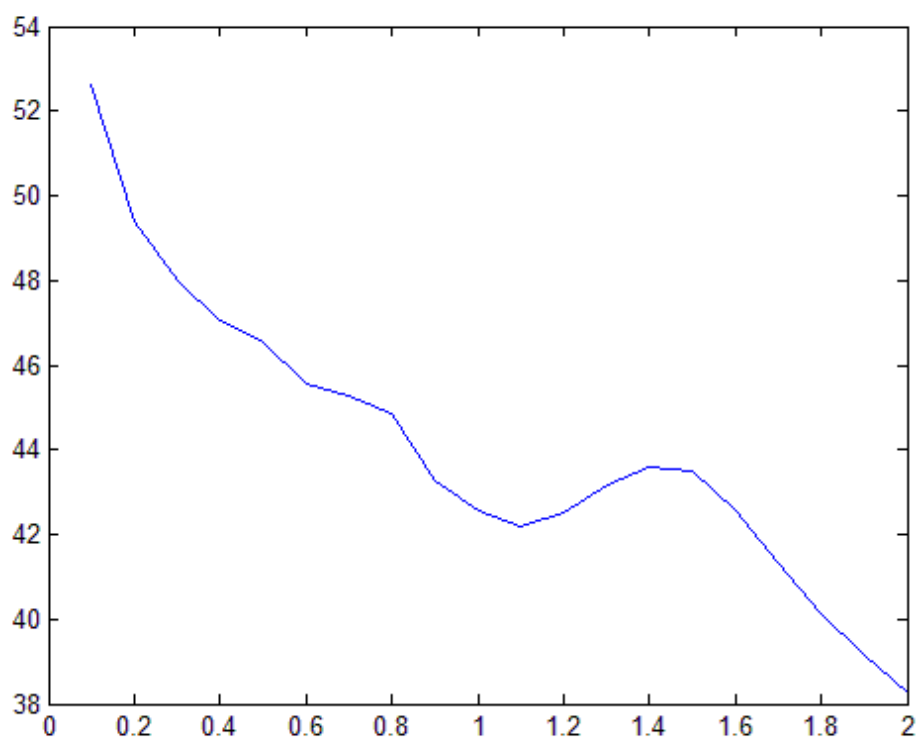
根据上述 3 种量化矩阵的经验，知 a 的值越大时，压缩的效果越好。而 a 的值越大，其实也就是使量化矩阵中的值越大。由于 Cannon 和 Nikon 量化矩阵的效果明显好于 Q，观察 Cannon 和 Nikon 矩阵可以发现，越接近左上角，元素越小；越接近右下角，元素越大。我认为，可能是左上角主要用来保存低频信号，右下角主要用来保存高频信号。由于人眼对低频信号的区分能力要强于对高频信号的区分能力，所以使用量化矩阵进行压缩时，由于图片损失不可避免，故可以尽可能地保存低频信号，而让高频信号作为损失失去。所以，在设计量化矩阵时，可以有选择性地让左上角的元素相对较小，右下角的元素相对较大。

我设计的矩阵如下：

$$\begin{bmatrix} 1 & 1 & 1 & 2 & 3 & 6 & 7 & 8 \\ 1 & 1 & 2 & 3 & 5 & 7 & 9 & 8 \\ 2 & 2 & 2 & 3 & 5 & 8 & 10 & 12 \\ 2 & 2 & 3 & 4 & 6 & 9 & 12 & 12 \\ 3 & 3 & 4 & 8 & 9 & 10 & 11 & 12 \\ 4 & 4 & 5 & 8 & 10 & 12 & 13 & 14 \\ 6 & 8 & 9 & 10 & 12 & 13 & 14 & 15 \\ 9 & 11 & 12 & 13 & 14 & 15 & 16 & 17 \end{bmatrix}$$

最后的结果为：

my_0.1	52.598	44.06975
my_0.2	49.3687	
my_0.3	47.9825	
my_0.4	47.0404	
my_0.5	46.5218	
my_0.6	45.5585	
my_0.7	45.2954	
my_0.8	44.8611	
my_0.9	43.2752	
my_1	42.5469	
my_1.1	42.1798	
my_1.2	42.4974	
my_1.3	43.1526	
my_1.4	43.5675	
my_1.5	43.5039	
my_1.6	42.5594	
my_1.7	41.3651	
my_1.8	40.1517	
my_1.9	39.1268	
my_2	38.2414	



可见，和 Cannon 和 Nikon 相比，PSNR 值略小一些，但是 PSNR-a 曲线下降的趋势更加明显，减少了一个凸峰的出现。

8、自己选择图片 ,使用 Cannon 和 Nikon 两种量化矩阵 ,比较结果与 PSNR。

本次实验，我选择了 3 张《信号处理原理》课程中老师给出的经典的图像变化的灰度图，并使用 Cannon 和 Nikon 进行量化，结果如下：

(1)shoot.bmp,从左到右从上到下为原图、Cannon、Nikon



(2)boat.bmp,从左到右从上到下为原图、Cannon、Nikon



(3)Barbara.bmp,从左到右从上到下为原图、Cannon、Nikon





2 种不同的量化矩阵下，3 种图片的 PSNR 值如下：

图片	量化矩阵	PSNR
图片1: shoot.bmp	Cannon	30.7453
	Nikon	63.1245
图片2: boat.bmp	Cannon	95.0878
	Nikon	128.1588
图片3: barbara.bmp	Cannon	161.5432
	Nikon	195.861

可见，无论对哪张图片，用 Nikon 量化的结果的 PSNR 总是会比 Cannon 的结果的 PSNR 来的大，这和用 lena 作为图片时的结论相符合。

五、实验总结

通过本次任务，我了解到，对于同一张图片来说，量化矩阵中的值越大，量化后重构得到的图片计算 PSNR 值就越小，信息丢失得越多。在设计量化矩阵时，由于压缩损失不可避免，我们可以将量化矩阵的左上角设计得小一些，右下角设计得大一下，让高频分量损失，保留低频分量，这样得出的图片结果才会更清晰。

六、实验数据

my_psnr.m：计算两个同纬度矩阵的 PSNR 值

my_2dct.m : 使用 blkproc 的方法进行分块，并计算 PSNR 值

my_2dct_use_matcell.m : 使用 mat2cell 的方法进行分块，并计算 PSNR

main.m : 主脚本文件，实现上述任务

lena.bmp 为原图，gray-lena.bmp 为原灰度图；

Q_1_data.txt 为用 Q 进行量化，所有 8×8 矩阵的 PSNR 值。

Q.bmp 为为用 Q 进行量化再重构后得到的图片。

“数据统计.xlsx” 中保存了 Q、Cannon、Nikon 以及自己实现的量化矩阵，对于 $a=[0.1, 2]$ 的情况下的 PSNR 值，以及自己选择的图片，使用 Cannon 和 Nikon 量化的 PSNR 值。

$a=[0.1, 2], 3$ 中量化矩阵得到的图片位于 “Q 图片结果”、“Cannon 图片结果”、“Nikon 图片结果” 文件夹内。Q、Cannon、Nikon、自己实现的量化矩阵得到的 PSNR-a 曲线，位于 “PSNR_a 曲线” 文件夹内。

Shoot.bmp，boat.bmp，barbara.bmp 为自己选择的图片，使用 Nikon 和 Cannon 量化并重构得到的图片位于 “自己选择图片量化重构结果” 文件夹内。